

УДК [552.321.1:551.76:552.112:553.061.2](571.65)

ТИПЫ РУДОНОСНЫХ ГРАНИТОВ ЮГО-ВОСТОЧНОЙ ЧАСТИ МЕЗОЗОИД СЕВЕРО-ВОСТОКА РОССИИ И ИХ ФЛЮИДНАЯ СПЕЦИАЛИЗАЦИЯ

Н.А. Горячев, Н.В. Бердников***

*Северо-Восточный комплексный научно-исследовательский институт ДВО РАН, г. Магадан

**Институт тектоники и геофизики им. Ю.А. Косыгина ДВО РАН, г. Хабаровск

На территории Северо-Востока Азии известны гранитоиды, образовавшиеся в геодинамических обстановках коллизии, субдукционных и трансформных континентальных окраин. По минералого-геохимическим признакам они относятся к гранитоидам S и I типов ильменитовой серии (коллизионные), и I и A типов магнетитовой серии (субдукционных и трансформных окраин). С этими гранитоидами связаны месторождения и рудопоявления золота, олова, вольфрама, висмута, ниobia, циркония и иттрия. С помощью методов криометрии и термометрии нами исследованы индивидуальные включения расплавов и флюидов в кварце гранитов, с которыми связаны месторождения золота и олова. Включения раскристаллизованных расплавов имеют температуры гомогенизации 805–780 °C, кристаллофлюидные – 600 °C и выше, первичные флюидные – 530–225 °C, вторичные флюидные – 370–155 °C.

В составе флюидных включений из кварца гранитов независимо от происхождения последних постоянно отмечаются хлориды калия и натрия. Во флюиде S гранитов преобладают хлориды натрия, а во флюиде I гранитов – хлориды калия. Углекислота с примесью воды, азота и метана характерна только для S и I гранитов ильменитовой серии, в то время как для субдукционных I и A гранитов магнетитовой серии обычны хлориды калия, магния и лития. Ильменитовые S и I граниты характеризуются близким составом флюидной фазы, только для I гранитов отмечается тенденция к большей восстановленности флюида (присутствие азотно-метановой смеси). Это является свидетельством генетического единства ильменитовых S и I гранитов как разноглубинных продуктов коллизионной плутонометаморфической системы.

Флюидные включения в кварце золотоносных гранитов имеют существенно углекислотно-водный и хлоридно-натриевый состав с примесью CH_4 и N_2 при концентрации солей во вторичных включениях до 8 % $\text{NaCl}_{\text{экв.}}$. Флюидные включения в минералах оловоносных гранитов отличаются существенно хлоридным составом (KCl преобладает над NaCl) с присутствием хлорида лития и магния. Концентрация солей в первичных флюидных включениях из кварца гранитов всех типов достигает 8,5 % $\text{NaCl}_{\text{экв.}}$, вторичные включения – более концентрированные (до 22 % $\text{NaCl}_{\text{экв.}}$).

Ключевые слова: рудоносные гранитоиды, геохимические типы гранитов, геодинамические обстановки, включения в кварце, флюидная специализация, Северо-Восток Азии.

ВВЕДЕНИЕ

С мезозоидами Северо-Востока Азии связана одна из крупнейших металлогенических провинций Тихоокеанского рудного пояса. Здесь широко распространены гранитоидные plutоны различного состава и возраста, играющие важную роль в локализации золотого и оловянного оруденения. Эти гранитоиды классифицированы в разных систематиках [26], по-разному интерпретирована их геодинамическая позиция [9, 12, 13, 19, 28, 32]. В металлогении золота и олова характеристикам флюидных включений в ми-

нералах рудных месторождений уделено достаточно большое внимание [4–7 и др.], в то время как особенности флюидного состава рудоносных гранитов почти не исследованы [2, 3, 26]. Это послужило причиной исследования флюидных включений в кварце гранитоидов из юго-восточной части мезозоид Северо-Востока России на территории Магаданской области. В основу статьи положены результаты геохимического и термобарометрического изучения 17 массивов разнотипных гранитоидов. Целью исследований было выявление зависимостей между тремя важнейшими характеристиками гранитоидов: их

геодинамическим типом, флюидной специализацией и металлогенией. Геохимические характеристики получены по результатам РСФА и ИСП-МС анализов, выполненных в лабораториях СВКНИИ и ИТИГ ДВО РАН, флюидные включения изучены в лаборатории ИТИГ ДВО РАН. За формальную основу генетической типализации гранитоидов приняты известные систематики Чаппела и Уайта [24] и Ишихары [30], примененные к породным ассоциациям и комплексам, охарактеризованным ранее в [9, 26].

ОБЩАЯ ХАРАКТЕРИСТИКА ИЗУЧЕННЫХ ГРАНИТОВ

Тектоническая позиция гранитоидных plutонов

В современных тектонических концепциях место позднемезозойских гранитоидов Северо-Востока Азии определяется аккреционными событиями позднеюрско-раннемелового, раннемелового и позднемелового аккреционных этапов [26, 34, 35]. Рассматриваемые в статье гранитоидные plutоны располагаются в Яно-Колымской коллизионной зоне [9, 27] и в окраинно-континентальной части мезозоид (Северное Приохотье). Эта территория характеризуется со-нахождением коллизионных гранитоидов Яно-Колымского plutонического пояса и субдукционных гранитоидных массивов, формировавшихся в результате действия двух разновозрастных окраинно-континентальных магматических поясов: позднеюрско-раннемелового Удско-Мургальского и позднемелового Охотско-Чукотского [11, 14, 20]. Совместное расположение разных типов гранитов, имеющих разную

металлогению, объясняется интерференцией позднеюрско-раннемеловых коллизионных и субдукционных геодинамических обстановок [28].

Изученные массивы гранитоидов (рис. 1) локализованы в складчатых структурах верхоянской пассивной континентальной окраины, Куларо-Нерского и Вилигинского шельфовых террейнов и вулканических структурах Удско-Мургальского и Охотско-Чукотского вулканогенных окраинно-континентальных поясов. Их детальная характеристика, типы литостратиграфических разрезов, время и условия формирования приведены в работах [20, 34]. Вмещающие породы представлены в основном песчано-сланцевыми отложениями пермского, триасового и юрского возраста, иногда кислыми вулканическими породами раннего–позднего мела.

Типы гранитоидов

Исследованные гранитоиды принадлежат к разным возрастным сериям (табл. 1) и породным ассоциациям [9, 26]. Позднеюрско-раннемеловая серия представлена гранит-лейкогранитовой (плутоны: Мяkitский, Чьорго, Больших порогов, Южный Большой Анначаг, Дерясь-Юрега) и диорит-гранодиоритовой (Бургагынский, Морджот, Делянкир, Мрачный, Среднебуюндинский) ассоциациями. Раннемеловая серия представлена гранодиорит-гранитовой (Северный Большой Анначаг, Приисковый, Басугунынский) ассоциацией, а ранне-позднемеловая – гранит-лейкогранитовой (Верхнеоротуканский, Западно-Бутычагский, Левоомсукчанский, Глухаринский) и тоналит-гранодиоритовой (Севастопольский) ассоци-

Таблица 1. Краткая характеристика изученных гранитных массивов.

Массив	Главная порода	Тип	Датировки, млн л.	Sr ₀	Рудоносность
Дерясь-Юрега	Биотитовый гранит	S	141 Ar-Ar ¹	-	Sn
Мяkitский	Двуслюдянный гранит	S	141 Ar-Ar ¹	-	Au
Чьорго	Биотитовый гранит	S	138 Ar-Ar ¹	0,7057 ³	Au
Большие Пороги	Биотитовый гранит	S	150 U-Pb, 136–148 K-Ar ²	-	не ясна
Южный Большой Анначаг	Двуслюдянный гранит	S	147 Ar-Ar ¹	0,7128 ³	не ясна
Бургагынский	Биотит-амфиболовый гранит	Ii	148 Ar-Ar ¹ , 150 U-Pb	-	Au
Морджот	Биотитовый гранит	Ii	110–142 K-Ar ² , Rb-Sr	-	Au
Приисковый	Биотитовый гранит	Ii	110 K-Ar	-	Au
Делянкир	Биотитовый гранит	Ii	126 K-Ar ²	-	Au
Басугунынский	Биотитовый гранит	Ii	134 K-Ar ² , 128 Rb-Sr ³	0,7141 ³	Au
Буюндинский	Биотитовый гранит	Ii	146 Ar-Ar ¹	0,7076	не ясна
Северный Большой Анначаг	Биотит-амфиболовый гранит	Ii	124 K-Ar (изохrona)	0,7085	не ясна
Севастопольский	Биотит-амфиболовый гранит	Im	70–93 K Ar ²	-	Sn
Мрачный	Биотитовый гранит	Im	-	-	Au
Верхнеоротуканский	Лейкогранит	A	61 Rb-Sr, 80 K-Ar ²	0,7117	Sn
Западно-Бутычагский	Лейкогранит	A	78 Ar-Ar ¹ , 89 Rb-Sr	0,7057	Sn
Левоомсукчанский	Лейкогранит	A	75 Rb-Sr, K-Ar	0,7041	Sn
Глухаринский	Лейкогранит	A	77,5 Rb-Sr	0,7086	Sn

Примечание. Данные – ¹[18], ²[16], ³[12]. Ii – I граниты ильменитовой серии, Im – I граниты магнетитовой серии.

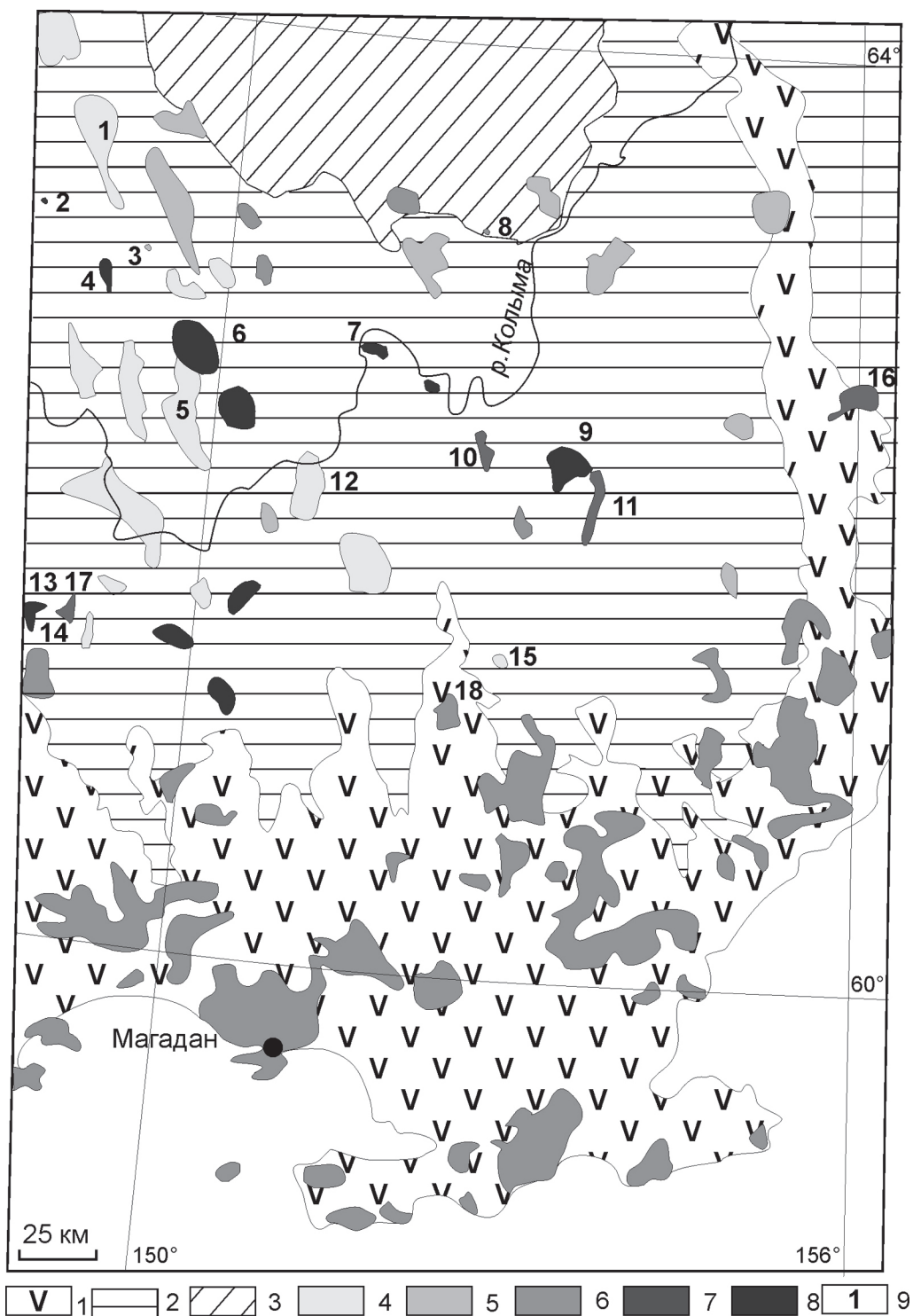


Рис. 1. Положение изученных массивов гранитоидов в структурах Северного Приохотья.

1 – вулканогенные образования Удско-Мургальского и Охотско-Чукотского вулканогенных поясов; 2 – терригенные отложения верхоянского комплекса пассивной окраины Сибирского континента; 3 – терригенно-карбонатные отложения Колымо-Омолонского супертеррейна; 4 – коллизионные S-граниты ильменитовой серии; 5 – субщелочные граниты; 6 – I-граниты магнетитовой серии; 7 – оловоносные лейкограниты А-типа; 8 – I-граниты ильменитовой серии; 9 – номера изученных массивов: 1 – Чьорго, 2 – Делянкир, 3 – Приисковый, 4 – Морджот, 5 – Южный Большой Анначаг, 6 – Северный Большой Анначаг, 7 – Басугунинский, 8 – Дерясь-Юргинский, 9 – Буюндинский, 10 – Верхнеоротуканский, 11 – Глухаринский, 12 – Больших Порогов, 13 – Бургагинский, 14 – Севастопольский, 15 – Мятский, 16 – Левоомусукчанский, 17 – Западно-Бутугычагский, 18 – Мрачный.

ациями. Представительные анализы пород из некоторых изученных массивов приведены в табл. 2. По взаимоотношениям со складчатыми структурами, разломами и главными тектоническими блоками, а также по геохимическим данным (рис. 2) эти гранитоиды относятся к геодинамическим типам коллизионных, внутриплитных гранитоидов и гранитоидов обстановок активных континентальных окраин. Согласно геохимическим данным (рис. 3, 4), изученные граниты могут быть определены в терминах известных систематик как S-, I-, A-типы гранитоидов ильменитовой и магнетитовой серий [24, 25, 30, 31, 38]. Они объединены нами в три группы: орогенные граниты S-типа ильменитовой серии, орогенные граниты I-типа ильменитовой (I_{ilm}) и магнетитовой (I_m) серий и посторогенные граниты A-типа магнетитовой серии.

Орогенные граниты S-типа ильменитовой серии представлены крупными (до 2–3 тысяч км²) эродированными plutонами (Чьорго, Южный Большой Анначаг, Больших Порогов) и малоэродированными небольшими (до 100 км²) массивами (Мяkitский, Дерясь-Юрга) биотитовых и двуслюдянных гранитов. В этих гранитах известны высокоглиноземис-

тые акцессорные минералы (гранат, кордиерит, андалузит), ксенолиты гнейсов и кристаллических сланцев. Их тела часто конформны складчатым структурам и сопровождаются неравновесным зональным метаморфизмом вмещающих пород [9, 10]. Для них обычен европиевый минимум в спектре редкоземельных элементов и повышенные содержания рубидия (табл. 2) [9, 39].

Орогенные граниты I-типа представлены массивами, сложенными преимущественно биотитовыми и амфибол-биотитовыми гранитами и гранодиоритами. По присутствию акцессорных минералов – ильменита и магнетита, а также по окисленности железа (по данным частных химических анализов) (рис. 4) они подразделяются на гранитоиды ильменитовой (Басуунинский, Морджот, Делянкир, Средне-буондинский, Приисковый, Северный Большой Анначаг и Бургагынский массивы) и магнетитовой (Се-

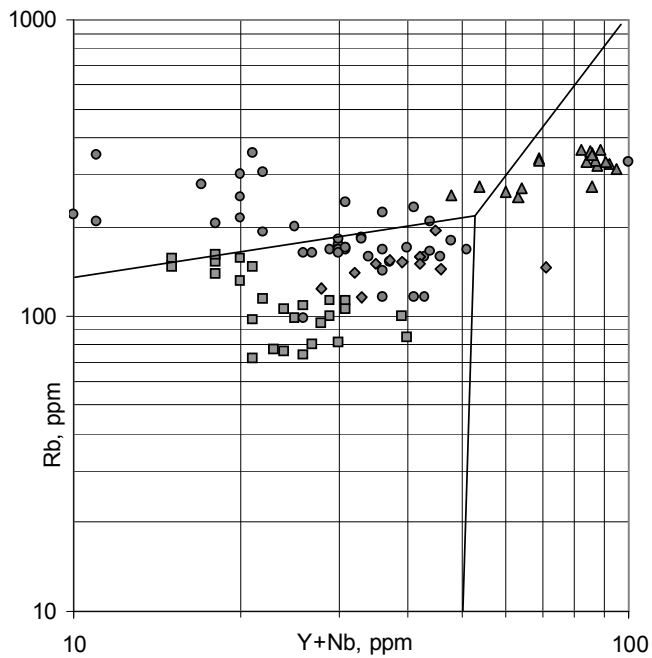


Рис. 2. Положение точек составов изученных гранитов на дискриминантной диаграмме Дж. Пирса.

Верхнее поле – коллизионные граниты, нижнее левое – субдукционные граниты, нижнее правое – внутриплитные граниты. Треугольники – А-граниты; кружки – S-граниты; квадраты – Im-граниты магнетитовой серии; ромбы – Ii-граниты ильменитовой серии.

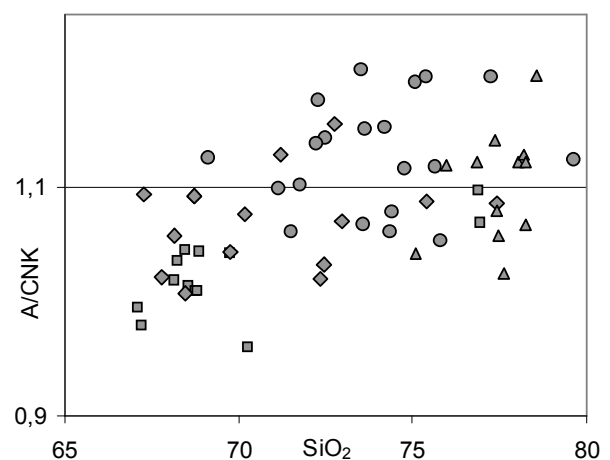


Рис. 3. Глиноземистость изученных гранитоидов. Условные обозначения см. на рис. 2. Разделительная линия проведена по данным [31].

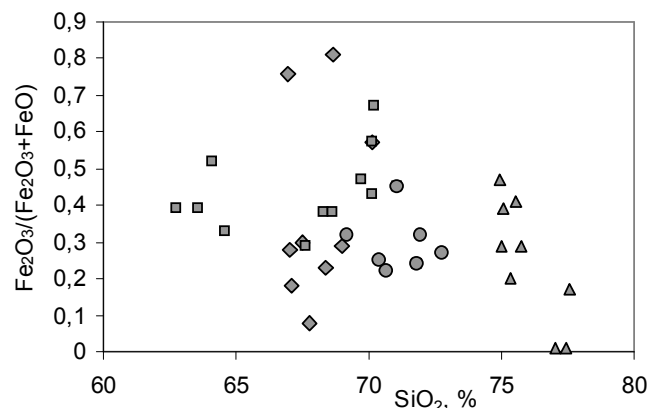


Рис. 4. Окисленность железа в изученных гранитоидах. Условные обозначения см. на рис. 2.

Таблица 2. Выборочные анализы пород изученных массивов гранитоидов (окислы, % вес.; элементы, г/т).

	Л-10	246к86	19 гр87	30/5 гр98	БП-11	44/2 гр98	37/7 гр85	222/2 гр85	K98/88	B18к88	Мр-19	Бу-4	202к86	Бт-1А	
	1	2	3	4	5	6	7	8	9	10	11	12	13	14	
SiO ₂	75,63	71,79	73,62	69,83	69,75	68,97	68,14	69,12	68,41	76,90	70,19	75,99	76,84	74,39	
TiO ₂	0,04	0,27	0,20	0,48	0,58	0,65	0,65	0,47	0,3	0,09	0,28	0,11	0,17	0,13	
Al ₂ O ₃	13,43	14,78	13,87	14,90	14,54	14,82	15,24	14,48	15,60	13,05	15,22	13,06	12,34	13,22	
Fe ₂ O ₃	1,46	2,54	2,10	3,82	3,89	4,03	5,42	3,92	4,25	0,80	3,16	1,52	1,55	2,13	
MnO	0,07	0,05	0,06	0,06	0,07	0,07	0,05	0,06	0,04	0,02	0,09	0,01	0,03	0,01	
MgO	0,17	0,33	0,40	0,91	1,06	1,32	1,63	1,07	0,61	0,07	0,77	0,24	0,07	0,11	
CaO	0,43	1,48	0,90	1,95	2,05	2,24	1,44	2,93	2,99	0,48	2,46	0,68	0,50	0,78	
Na ₂ O	3,83	3,63	3,35	3,42	3,51	3,05	3,49	3,13	3,83	3,74	3,88	3,45	2,99	3,63	
K ₂ O	4,58	4,40	4,54	3,61	4,06	4,19	3,13	3,96	3,28	4,51	3,05	4,65	4,78	5,00	
P ₂ O ₅	0,03	0,10	0,24	0,16	0,13	0,10	0,12	0,11	0,09	0,01	0,12	0,03	0,04	0,04	
п.п.п	0,33	0,61	0,75	0,86	0,35	0,57	0,79	0,74	0,58	0,33	0,78	0,28	0,73	0,57	
Сумма	100	99,98	100,03	100	99,99	100,01	100	99,99	99,98	100	100	100	100,04	100,01	
Rb	167	169	241	116	145	143	158	140	90	156	84			332	
Sr	17	123	52	143	125	147	86	137	180	83	298			49	
Y	44	23	23	42	33	42	36	26	17	9	27			78	
Zr	48	147	97	185	179	163	191	163	185	87	105			169	
Nb	7	8	8	2	3	4	6	4	5	6	13			22	
La	9,0	35	8,1	16,2	16,4	27,1	31,2	26,4	31,4	23,6	14,0			55,9	19,5
Ce	21,1	71	61,7	34,6	34,6	57,7	66,4	53,6	61,0	39,7	28,0			110,6	43
Pr	2,45		1,8	4,1	4,0	6,5	7,0	5,8	6,2	4,1	3,0			11,4	4,5
Nd	9,9	30	7,4	17,5	17,1	27,2	29,8	24,1	25,4	13,9	13,0			45,1	18,8
Sm	3,0	6	1,9	4,0	4,4	5,8	6,9	5,3	5,2	2,3	3,0			10,7	5,0
Eu	0,17	0,8	0,48	1,37	1,23	1,17	1,1	1,1	1,4	0,48	1,1			0,20	0,36
Gd	2,6		1,7	3,4	3,8	4,7	6,0	4,9	4,2	1,7	2,3			8,0	4,4
Tb	0,6	0,7	0,3	0,6	0,7	0,8	0,9	0,8	0,6	0,3	0,4			1,5	0,8
Dy	4,2		1,8	3,4	3,9	4,4	5,1	5,1	3,4	1,6	2,1			10,2	4,9
Ho	1,2		0,2	0,7	0,8	1,0	0,6	0,8	0,4	0,2	0,45			2,2	0,7
Er	2,8		0,8	1,4	1,7	2,0	2,0	2,6	1,4	0,7	0,9			5,6	2,5
Tu	0,5		0,1	0,2	0,2	0,3	0,3	0,4	0,2	0,1	0,1			0,8	0,4
Yb	4,1	2,2	0,8	1,4	1,8	2,2	2,0	2,6	1,3	0,8	1,2			5,7	2,8
Lu	0,55	0,3	0,13	0,19	0,24	0,30	0,32	0,48	0,23	0,13	0,16			0,79	0,49
Th	5,7	14,4	2,9	4,7	5,3	10,8	10,0	8,9	9,1	14,3	5,4			43	27,0
U	10,8	3	4,6	1,2	2,7	3,3	1,6	1,7	2,1	2,3	13			5,2	

Примечания. 1 – Дерясь-Юрега; 2 – Мяkitский; 3 – Южный Большой Аннагач; 4 – Чьорго; 5 – Большие Пороги; 6 – Морджот; 7 – Приисковый (курсив – обр. 36/2гр98); 8 – Басугунинский; 9 – Бургагинский (курсив – обр. K99/88); 10 – Севастопольский; 11 – Мрачный (курсив – обр. Mp-20); 12 – Северный Буюндинский; 13 – Верхнеоротуканский; 14 – Западно-Бутугычагский.

вастопольский и Мрачный плутоны) серии. Ильменитовые гранитоиды данного типа пространственно ассоциируются с орогенным S-гранитами в Яно-Колымской коллизионной зоне, формируясь либо синхронно с ними (табл. 1), либо позже них. Для ранних гранитоидов достоверных взаимоотношений с S-гранитами не установлено, поздние пересекают их (Северный и Южный Большые Аннагачи). Эти гранитоиды, как правило, дискордантны складчатым структурам. Магнетитовые гранитоиды входят в состав дифференцированных многофазных массивов, сложенных породами от габброриоритов до гранитов, а ильменитовые обычно формируют относительно простые монофазные интрузивы гранодиорит-гранитного состава. Породы обеих групп массивов об-

ладают субдукционными геохимическими характеристиками (рис. 4 и табл. 2), но различаются по изотопному составу стронция, заметно более радиогенного для ильменитовых гранитоидов [9, 12, 17].

Посторогенные граниты представлены относительно небольшими (до 300 км²) телами биотитовых гранитов (Западно-Бутугычагский, Верхнеоротуканский, Левоомускучанский и Глухариный массивы), располагающимися в тылу Охотско-Чукотской магматической окраинно-континентальной дуги. Они приурочены к поздним разломам, ассоциируют с более молодыми плутонами щелочных гранитов, имеют близкий к мантийным меткам изотопный состав стронция, в них нередко присутствует фаялит и постоянно – магнетит, что позволяет интерпретировать

их как гранитоиды трансформных окраин континента [29]. По геохимическим данным (табл. 2) их можно параллелизовать с гранитоидами А-типа [25].

Металлогенез гранитоидов

Коллизионные гранитоиды мезозоид Северо-Востока Азии сопровождаются золоторудными месторождениями и оловянными месторождениями грейзенового, кассiterит-кварцевого и кассiterит-силикатного жильного типов [9, 39]. В массивах S- (Чьорго, Мяkitский) и I-гранитов ильменитовой серии (Морджот, Делянкир, Приисковый, Мрачный, Басугунынкий, Бургагынский массивы) локализованы кварцевые жилы и штокверки с арсенопиритом, леллингитом, теллуридами и сульфотеллуридами висмута, самородными висмутом, золотом и другими минералами [9, 27]. Некоторые из них образуют жильные системы большой протяженности. Содержания золота в жилах варьируют от 0,1–3 до 10–20 г/т. С S-гранитами массива Дерясь-Юрга связано кассiterит-силикатно-сульфидное месторождение Лазо, из которого было добыто около 12 тысяч тонн олова при средних его содержаниях около 1 %. В I_m-гранитах Севастопольского массива локализовано Валунистое месторождение кассiterит-кварцевого типа. Подобное месторождение олова связано и с лейкогранитами А-типа Западно-Бутыгчагского массива (Бутыгчагское месторождение). Из него также было добыто несколько десятков тысяч тонн олова. Оловоносные грейзены известны в связи с гранитами Глухариного и Верхнеоротуканского массивов (Климовское), а месторождения кассiterит-силикатного типа генетически связаны с Верхнеоротуканским (Кинжал) и Левоомсукчанским (Индустриальное и др.) массивами [21]. Изложенное показывает, что рудоносность гранитоидов не зависит от их геодинамической позиции.

ХАРАКТЕРИСТИКА ФЛЮИДНЫХ ВКЛЮЧЕНИЙ В КВАРЦЕ ГРАНИТОИДОВ

Методами термобарогеохимии изучены 24 образца разновозрастных гранитов и гранодиоритов, характеризующих 17 массивов Яно-Колымского складчатого пояса. Для исследований выбирались породы, наименее затронутые постмагматическими изменениями. Термометрия и криометрия образцов проводилась по методике, охарактеризованной в [1, 23].

Флюидная характеристика гранитоидов разных типов

Мы полагаем, что флюид, законсервированный во включениях в кварце, отражает состав сво-

бодного флюида практически на всех этапах становления и эволюции гранитоидного массива. Действительно, хотя кварц в гранитах кристаллизуется последним, обнаружение в нем включений раскристаллизованного расплава (обр. 95-гр-88, К-99-88, 222/2-гр-85) говорит о том, что кристаллизация начиналась в присутствии расплава. Кристаллизация в условиях снижения температур проходила при участии свободного флюида, который консервировался в виде кристаллофлюидных и флюидных включений. При этом состав таких включений зависит как от температуры [3], так и от состава флюидных компонентов, изначально растворенных в гранитном расплаве. Как следует из табл. 3, в более высокотемпературных (ранних) включениях присутствуют высококонцентрированные водно-солевые растворы (кристаллофлюидные включения) и водно-углекислотные (с примесью солей) смеси, а в низкотемпературных (более поздних) – преимущественно низкоконцентрированные водные растворы. Включения раскристаллизованных расплавов в изученных гранитах гомогенизируются при 805–780°C, кристаллофлюидные – от 600°C и выше, первичные флюидные – при 530–225°C, вторичные флюидные – при 370–155°C. Согласно данным криометрии, основными солевыми компонентами флюидных включений в кварце гранитов, независимо от происхождения последних, являются хлориды калия и натрия, спорадически встречаются хлориды лития, магния и кальция (табл. 3). Кроме воды во флюидных включениях часто и в заметных количествах отмечена углекислота, а также установлены незначительные концентрации метана и азота. Несмотря на ограниченность полученных данных, выявились существенные различия в качественном составе флюида гранитоидов магнетитовой и ильменитовой серий. Углекислота с примесью воды, азота и метана характерна только для включений из гранитов ильменитовой серии. Для включений из магнетитовых гранитов обычны водные растворы хлоридов с незначительным участием углекислоты. Согласно таблицам 3 и 4, во флюиде включений из кварца S-гранитов чаще встречаются хлориды натрия, а во флюиде I-гранитов – хлориды калия. Для немногочисленных газовых включений в кварце I-гранитов характерно наличие метана и азота. Флюидные включения в кварце гранитов А-типа заполнены водными растворами самых разных хлоридов и имеют наиболее высокую концентрацию. В них нередко наблюдаются твердые фазы и отмечаются признаки вскипания и гетерогенизации флюида.

Таблица 3. Характеристика флюидных включений в кварце гранитоидов.

Массив, образец	Генерация	Te, °C	Tпл, °C	Tром, °C	Состав растворов	Концентрация, %	Тип включений	Примечания
1	2	3	4	5	6	7	8	9
S-тип, ильменитовая серия								
Дерянь-Юргинский, Л-10-88	1 или 1-2	-23	-4÷-5	185-195	NaCl+KCl+H ₂ O	6,5-7,9	Г/Ж	
	2	-35÷-36, -55÷-57, -27	-8,5	185-195	Mg, Ca, Na, K - хлориды	12,3	Г/Ж	
Мяkitский, М-22-88	1		-59÷-61	+9	CO ₂ +(N ₂ , CH ₄)		Ж	
	2		-59÷-60	+11, +10 (в газ)	CO ₂ +(N ₂ , CH ₄)		Ж	
	2	~-21	-2, +9÷+10 - разлож. клатратов	250-285	H ₂ O+CO ₂ +NaCl	3,4	Г/Ж	Близодновременные или сингенетичные
Мяkitский, 250к-86,	1-2		-61,5	+7÷+12	CO ₂ +(N ₂ , CH ₄)		Ж	
	2	-21, -22	-3	225	H ₂ O+CO ₂ +NaCl	5	Г/Ж	В газовой фазе вымерзает немного CO ₂
Чьорго, 30/3-гр-98,	1			взрыв			К/Ф	Флюидных очень мало, много крупных кристаллофлюидных и (или) расплавных
	2		-60÷-62		CO ₂ +H ₂ O		Г/Ж	
	2		-4,5		H ₂ O+соль	7,2	Г/Ж	
Больших порогов, Бп-11	2		-4÷-6	165	H ₂ O+соль	6,5-9,2	Г/Ж	
	2		-59,5	+6÷+18 (CO ₂), 270-280 (полная)	H ₂ O+CO ₂ +соль		Г _{CO₂} /Ж _{CO₂} /Ж _{H₂O}	
Южный Большой Анначаг, БА-32	1-2	-21, -23	-5,5	310-350	NaCl+KCl+ H ₂ O	8,5	Г/Ж	Есть мелкие трудно растворимые фазы.
	2		-57,5		CO ₂ +(N ₂ , CH ₄)	-	Г	Близодновременные или сингенетичные.
	2	-22,5	-2÷-5		NaCl+KCl+ H ₂ O	3,4-7,9	Г/Ж	
	2	-23	-2,5÷-3,5	230-270	NaCl+KCl+ H ₂ O	4,2-5,7	Г/Ж	
	2			395		-	К/Ф	
Южный Большой Анначаг, БА-23-84	1-2	-9, -21, -23	-3÷-5	225-260, 305	KCl+H ₂ O, NaCl+H ₂ O, NaCl+KCl+ H ₂ O	5-7,9	Г/Ж	
	2						Г	
Южный Большой Анначаг, 19-гр-87	1						Р	Много
	2		-61		CO ₂ +(N ₂ , CH ₄)		Г	
	2	-21	-1,5		NaCl+H ₂ O	2,5	Г/Ж	
I-тип, ильменитовая серия								
Бургагынский, 95-гр-88	1						P (К/Ф?)	
	1		-57	+4÷+2	CO ₂		Ж	
	2		-57÷-58	+12,5÷+23	CO ₂ +(N ₂ , CH ₄)		Ж	Крупные
	2	-21	-4,5		NaCl+H ₂ O	7,2	Г/Ж	
	2		-58,5	-14÷+7	CO ₂ +(N ₂ , CH ₄)		Ж	Мелкие, плохо огражнены
Бургагынский, К-99-88	1-2						Р	Расплавные совместно с углекислотными
	1-2		-58÷-58,5	+15	CO ₂ +(N ₂ , CH ₄)		Ж	
	2			250			Г/Ж	Уплощенные
	2		-57,5(CO ₂) -5,5; -6(H ₂ O)	T _{ром} CO ₂ =+13,5; +19÷+20; +23	H ₂ O+CO ₂ +(N ₂ , CH ₄)		Г/Ж	Тразложения клатрата=+8
Морджот, 44-1-гр-98	2			-86÷-100 в газ	N ₂ , CH ₄		Г	

Таблица 3. (Продолжение).

1	2	3	4	5	6	7	8	9
Приисковый, 36/2-гр-98	1			-124	N ₂		Ж	Перенаполнено поздними, с T _{том} =-118°C
	1-2		-62÷-65	-7,5÷-11,5; -22 (в газ); -28; - 39; -45	CO ₂ +(N ₂ , CH ₄)		Ж	<-85°C вымерзает немного жидкости
	1-2		-2			3,4	Г/Ж	
Делянкир, 20/3-гр-98	2		-57÷-57,5	-16; -1,5; +9; +20	CO ₂ +(N ₂ , CH ₄)			
Басугуньин- ский, 218-гр-85	1, 1-2		-60,5	+10 в газ	CO ₂ +(N ₂ , CH ₄)		Г	
	2			-137 в газ (субкрит.)	CH ₄ ± N ₂ (?)		Г	
	2	-1,5		195-305	(K,Na) ₂ SO ₄ +H ₂ O		Г/Ж	Наполнение невыдержанное
Басугуньин- ский, 222/2-гр-85	1, 1-2						Р или К/Ф	Сингенетичные. В газово-жидких Тразложения клатрата.=+15(?)
	1, 1-2	-7÷-8	-3		KCl+H ₂ O+ CO ₂ +(N ₂ , CH ₄)	5	Г/Ж	
	1, 1-2	-8÷-10	-1÷-4	275-325	KCl+H ₂ O	1,7-6,5	Г/Ж	
	2			155			Г/Ж	
	2		-60		CO ₂ +(N ₂ , CH ₄)		Г	
Буюндинский, 1176-К-82	1-2	~ -8,5	-2,5	190-220	KCl+H ₂ O	4,2	Г/Ж	
	2	~ -10,5	-2,5		KCl+H ₂ O	4,2	Г/Ж	
Северный Большой Анначаг, Ба-21-84	2		-1÷-4			1,7-6,5	Г/Ж	
Северный Большой Анначаг, А-19-79	2	~ -24	0÷-2		NaCl+KCl+H ₂ O	0-3,4	Г/Ж	

I тип магнетитовая серия

Севастополь- ский, 175-гр-88	1, 1-2	-22÷-23	-2÷-3	360	NaCl+KCl+CO ₂ ++H ₂ O	3,4-5	Г/Ж, Г, Ж	В газовой фазе вы- мерзает немного CO ₂ с T _{пл} =-57°C
Мрачный, Mp-20-К-90	1			800-805				Расплавные в цирконе, заклю- ченном в кварцевую матрицу
	2	-50÷-52	-8; -1,5	250	Хлориды Ca, Mg, K+H ₂ O	2,6; 11,7	Г/Ж	

A-тип, магнетитовая серия

Верхне- оротукан- ский, 156-гр-86	1	-8÷-9, -11	-1	280-285	KCl+H ₂ O	1,7	Г/Ж	
	1			взрыв			К/Ф	
	1-2	0	0	155	H ₂ O	0	Г/Ж	
Бутугычаг- ский, Бт-1А-97	1	-23	-2,5÷-3,5	215	NaCl+KCl+H ₂ O	4.2-5.7	Г/Ж	
	1-2	-23	-9÷-20	430	NaCl+KCl+H ₂ O	12.9-22.4	Г/Ж	
	1-2	-74,5		T _{том} Г/Ж=285- 320, T _{том} ≥600	LiCl+H ₂ O		К/Ф	
Лево- омсукчанский, У-III-4-97	1						Г	Сингенетичные, свидетельство кипе- ния
	1		-49 и ниже	T _{том} Г/Ж=275- 285, T _{том} =450-530			К/Ф	
	1-2	-33			MgCl ₂ +H ₂ O	Высокая	Г/Ж	Иногда присутствует кубик твердой фазы

Таблица 3. (Окончание).

1	2	3	4	5	6	7	8	9
Глухаринский, Бу-4-79	2	-36			MgCl ₂ ±KCl+H ₂ O	Высокая	Г/Ж	Плавление недиагностированной твердой фазы при +11,5 (клатрат, гидрат?)
	1-2	-60÷-61	-45	390-400	LiCl(?) ⁺ CaCl ₂ (?) ⁺ H ₂ O		K/F	Г+Ж+2 твердые фазы
	1-2		0÷-1	390		0-1,7	Г/Ж	Присутствуют труднорастворимые твердые фазы
	2	-23; -26÷-27	-1÷-6		NaCl+KCl+H ₂ O	1,7-9,2	Г/Ж	

Примечание. Генерации включений: 1 – первичные, 1-2 – первично-вторичные, 2 – вторичные; Те – температура эвтектики растворов; Тпл – температура плавления твердой фазы (преимущественно льда и углекислоты); Тгом – температура гомогенизации; концентрация аппроксимирована системой NaCl+H₂O (NaCl экв.); тип включений: Г – газовые, Ж – жидкые, Г/Ж – газово-жидкие, K/F – кристаллофлюидные, Р – раскристаллизованных расплавов.

Таблица 4. Встречаемость компонентов флюида во включениях в кварце гранитоидов разных типов.

Компоненты флюида	S, ильменитовая серия (из 8 обр.)	I, ильменитовая серия (из 10 обр.)	I, магнетитовая (из 2 обр.)	A-тип, магнетитовая (из 4 обр.)
N ₂	5	7	-	-
CH ₄	4	7	-	-
CO ₂	5	6	1	-
H ₂ O	8	6	2	4
LiCl	-	-	-	2
NaCl	8	2	1	2
KCl	5	3	2	3
CaCl ₂	1	-	1	1
MgCl ₂	1	-	1	1
(K,Na) ₂ SO ₄	-	1	-	-

Таблица 5. Встречаемость компонентов флюида во включениях в кварце рудоносных и безрудных гранитоидов.

Компоненты флюида	Рудоносность гранитоидов		
	Au (из 11 обр)	Sn (из 6 обр)	Безрудные (из 7 обр)
N ₂	9	-	2
CH ₄	9	-	2
CO ₂	9	1	3
H ₂ O	7	6	6
LiCl	-	2	-
NaCl	5	4	5
KCl	3	6	5
CaCl ₂	-	3	-
MgCl ₂	-	3	-
(K,Na) ₂ SO ₄	1	-	-

Флюидная характеристика рудоносных гранитоидов

Поскольку кристаллизация кварца происходит в достаточно широком интервале температур, в котором все компоненты растворенного в расплаве флюида выделяются в качестве отдельной фазы, мы полагаем, что по составу включений в кварце можно судить о флюидной специализации того или иного гранитного массива. Отделяющийся при становлении и остывании массива флюид участвует в формировании связанных с ним рудных месторождений. Таким образом, мы принимаем, что изученный нами состав флюида во включениях из кварца гранитов характеризует как флюидную специализацию самого гранитного массива, так и связанного с ним комплекса рудных месторождений. Как показано в таблицах 3 и 5, флюидные включения в кварце золотоносных гранитов имеют существенно углекис-

лотно-водный и хлоридно-натриевый состав с примесью CH₄ и N₂ при концентрации солей во вторичных включениях до 9,2 % NaCl_{экв.}. Флюидные включения в минералах оловоносных гранитов отличаются существенно хлоридным составом (KCl преобладает над NaCl) и присутствием хлоридов лития и магния. Концентрация солей во вторичных флюидных включениях достигает 22 % NaCl_{экв.}. Первичные флюидные включения в гранитах – менее концентрированные (8,5 % NaCl_{экв.}) независимо от их рудоносности. Соли лития, магния и кальция встречены лишь в оловоносных гранитах, где они установлены в половине изученных образцов. Безрудные граниты отличаются от золотоносных редкой встречаемостью углекислоты, метана и азота, а от оловоносных – отсутствием хлоридов лития, кальция и магния. Состав законсервированного в них флюида – водно-хлоридный (KCl+NaCl) с незначительной

примесью углекислоты, метана и азота. Его концентрация аналогична таковой в рудоносных гранитах.

ОБСУЖДЕНИЕ РЕЗУЛЬТАТОВ

Для интерпретации полученных результатов нами привлекаются модели формирования гранитоидов в коллизионных (или сдвигово-коллизионных) и субдукционных (или сдвигово-субдукционных – трансформных окраин) обстановках.

Согласно модели коллизионных (сдвигово-коллизионных) обстановок, гранитоиды возникают в условиях регионального сжатия в тесной связи с процессами зонального метаморфизма [15, 16]. При этом формируются ильменитовые граниты, имеющие разноглубинные источники расплавов [13]. Глубинные плутоны I-типа ильменитовой серии возникли на уровне нижней коры под влиянием мантийных производных (либо базальтоидных магм, либо трансмагматических флюидов [8]). Менее глубинные плутоны S-типа гранит-лейкогранитовой ассоциации ильменитовой серии формировались на верхних уровнях коры (включая осадочный чехол) во время роста гранитно-метаморфических куполов (рис. 5). Вследствие того, что хронологически и тектонически это единый процесс, разные по составу плутоны I- и S-типов должны иметь признаки генетической общ-

ности. В Яно-Колымской коллизионной зоне это отсутствие взаимопересечений между телами гранитов S и I типа позднеюрско-раннемеловой серии, синхронность их датировок (табл. 1), геохимические и минералогические признаки, позволяющие отнести их к ильменитовой серии, т.е. к гранитоидам, формировавшимся в восстановительной среде [36]. Формирование гранитов ильменитовой серии в восстановительных условиях находит отражение в качественном составе флюидных включений, законсервированных в кварце этих пород. Постоянное присутствие CO_2 и CH_4 указывает на возникновение расплавов в присутствии флюида, типичного для условий глубинных частей коры [36]. Существующие же геохимические различия (рис. 4) гранитоидов обусловлены, на наш взгляд, разными уровнями зарождения расплавов и различным составом исходного субстрата, о чем свидетельствуют находки разных по составу ксенолитов в ильменитовых гранитах S (преимущественно гнейсы) и I (преимущественно амфиболиты) типов, заметные вариации первичных отношений изотопов стронция (табл. 1), положение в разных по плотности блоках фундамента [13, 18]. Близкий состав флюидной фазы во включениях S- и I-гранитов также свидетельствует в пользу их генетического единства как разноглубинных продуктов региональ-

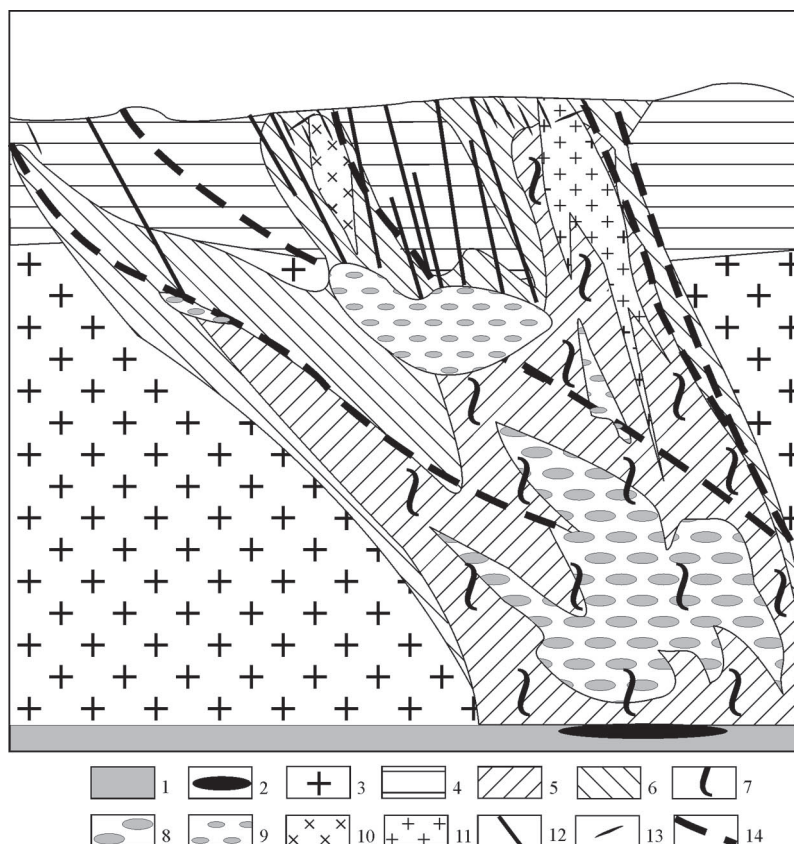


Рис. 5. Схематический модельный разрез Яно-Колымской коллизионной зоны на середину неокома.

1 – мантия; 2 – возможный базитовый очаг; 3 – кристаллический фундамент; 4 – осадочный комплекс; 5 – метаморфиты амфиболитовой фации; 6 – метаморфиты зеленосланцевой фации; 7 – зоны мигматизации; 8 – зона зарождения плутонического гранитоидного ядра; 9 – предполагаемые участки остановки диапиров ("промежуточные очаги"); 10 – камеры плутонов диорит-гранодиоритовой и гранодиорит-гранитовой ассоциаций; 11 – диапир-плутоны гранит-лейкогранитовой ассоциации; 12 – дайки диорит-гранодиоритовой ассоциации; 13 – золото-кварцевые жилы; 14 – зоны главнейших разломов.

ной плутонометаморфической системы Яно-Колымского коллизионного пояса [12].

Модель субдукционных и трансформных (субдукционно-сдвиговых) обстановок принципиально не отличается от ставшей уже классической субдукционной модели формирования окраинно-континентальных магматических поясов. Здесь только предлагается дополнение, связанное с формированием ультракислых оловоносных лейкогранитов А-типа с фаялитом, которые внедрялись в обстановках присдвигового растяжения при переходе режима субдукционной окраины в трансформную, когда зона субдукции блокируется и плиты начинают проскальзывать друг относительно друга [29]. Для данной модели характерно влияние и океанической плиты, и мантийной составляющей, что выражается в высокой степени окисленности и магнетитовой специализации гранитоидов, с одной стороны, низких значениях отношений изотопов стронция, с другой. Полученные нами данные о существенно хлоридно-водном составе флюида А-гранитов соответствуют экспериментальным данным [22]. Исследованные А-граниты имеют коэффициент агпайтности 0,8–1,0 и высокие содержания кремнезема (табл. 2), что соответствует минимальной растворимости хлора в расплавах подобного состава [22]. Следовательно, равновесный с ними флюид и должен быть насыщен хлоридами. Их источниками могли служить как субдуцированные океанические осадки, так и породы мантии. На это, в частности, указывают низкие отношения изотопов стронция (табл. 1).

Постоянное присутствие в составе флюидной фазы золотоносных гранитов CO_2 и CH_4 подтверждает предположение о том, что углекислота играет ключевую роль в формировании золотоносных рудообразующих систем [33]. Различия в составе включений золотоносных и оловоносных гранитоидов хорошо коррелируются с результатами изучения флюидных включений в кварце рудных жил, генетически связанных с такими гранитами. Для флюидных включений в кварце золоторудной минерализации, связанной с гранитами, типичными являются водно-углекислотно-солевой состав, нередко с примесью метана и азота, и преобладание солей натрия [4, 7, 26]. Для оловянной минерализации углекислота нехарактерна и типичен хлоридно-солевой состав включений [26]. Подобное сходство состава флюидов рудных тел и рудоносных гранитоидов позволяет говорить об их генетическом единстве, что подтверждает принятую нами гипотезу о разной флюидной специализации металлогенически раз-

личных гранитов. В то же время, отчетливая связь золоторудных месторождений с гранитоидами ильменитовой серии, а оловорудных – с гранитоидами магнетитовой серии является спецификой мезозойд Северо-Востока Азии, отличающей их от других районов тихоокеанской окраины азиатского континента [31]. Объяснение этому может быть найдено в том, что золотоносные гранитоиды мезозойд Северо-Востока Азии в большинстве своем имеют коллизионную природу и формировались в результате процессов зонального метаморфизма и анатексиса из субстрата и нижних частей терригенного чехла Верхоянской пассивной континентальной окраины, обогащенных золотом [12]. Связь отдельных месторождений олова с коллизионными гранитами (Дерсь-Юргинский массив) может быть обусловлена тем, что они представляют собой самые неглубокие части плутонометаморфических коллизионных систем, в которых флюид эволюционировал до хлоридно-водного состава в результате дегазации углекислоты на более глубинном уровне.

ЗАКЛЮЧЕНИЕ

Выделенные на рассматриваемой территории S-, I- и A-типы рудоносных гранитов ильменитовой и магнетитовой серии обладают заметными различиями в составе флюидов, законсервированных в кварце в виде включений. Эти различия, с одной стороны, определены разной геодинамической природой гранитоидов, а с другой – отвечают их разной металлогенической специализации.

Коллизионные ильменитовые S- и I-граниты характеризуются близким составом флюидной фазы, в которой почти постоянно присутствует углекислота с незначительной примесью метана и азота, что является свидетельством их генетического единства как разноглубинных продуктов плутонометаморфической системы коллизионного пояса.

Установлено четкое различие золотоносных и оловоносных гранитоидов по составу их флюидной фазы: флюид первых существенно углекислотно-водный, нередко с примесью метана и азота, флюид вторых – преимущественно хлоридно-водный, в ряде случаев с солями лития. Полученные результаты свидетельствуют о том, что металлогеническая специализация магматических комплексов зависит как от состава дегазирующего флюида, так и от генетического типа рудогенерирующего гранитоидного массива, точнее, генетический тип гранитоидов определяет их флюидную специализацию, которая, в свою очередь, является одним из факторов, влияющих на характер оруденения.

ЛИТЕРАТУРА

1. Бердников Н.В., Романовский Н.П. Гранитоиды ХунгариЙской и Верхнеудоминской серий Северного Сихотэ-Алиня в районе Анюйского выступа: включения в минералах, вопросы образования и рудоносности // Тихоокеан. геология. 1999. Т. 18, № 2. С. 86–93.
2. Гамянин Г.Н., Гончаров В.И., Горячев Н.А. Критерии генетической связи золото-редкометалльного оруденения с гранитоидами // Золотое оруденение и гранитоидный магматизм Северной Пацифики: Труды Всерос. совещ. Магадан, 4-6 сентября, 1997. Т. 2. Рудная минерализация и петрогенезис. Магадан: СВКНИИ ДВО РАН, 2000. С. 121–131.
3. Гамянин Г.Н., Гончаров В.И., Горячев Н.А. Золото-редкометалльные месторождения Северо-Востока России // Тихоокеан. геология. 2000. Т. 15. С. 619–636.
4. Гамянин Г.Н. Минералого-генетические аспекты золотого оруденения Верхояно-Колымских мезозоид. Москва: GEOS, 2001. 222 с.
5. Гончаров В.И. Гидротермальное рудообразование в окраинных вулканических поясах. М.: Наука, 1983. 215 с.
6. Гончаров В.И. Флюидный режим формирования золотой минерализации в складчатых структурах северо-востока России // Золотое оруденение и гранитоидный магматизм Северной Пацифики: Труды Всерос. совещ. Магадан, 4-6 сентября, 1997. Т. 2. Рудная минерализация и петрогенезис. Магадан: СВКНИИ ДВО РАН, 2000. С. 80–105.
7. Горячев Н.А. Жильный кварц золоторудных месторождений Яно-Колымского пояса / Ред. Г.Н. Гамянин. Магадан: СВКНИИ ДВО РАН, 1992. 136 с.
8. Горячев Н.А. Колесниченко П.П. К геохимии габброидных интрузивов Яно-Колымского золотоносного пояса // Магматизм и минерализация северо-восточной Азии. Магадан: СВКНИИ ДВО РАН, 1997. С. 243–257.
9. Горячев Н.А. Геология мезозойских золото-кварцевых жильных поясов Северо-Востока Азии / Ред. В.И.Гончаров. Магадан: СВКНИИ ДВО РАН, 1998. 210 с.
10. Горячев Н.А. Пояса гранитоидных plutонов, зонального метаморфизма и золото-кварцевых жил: случайное совмещение или генетическая связь? // Наука на Северо-Востоке России (к 275-летию Российской Академии наук). Магадан: СВКНИИ ДВО РАН, 1999. С. 68–85.
11. Горячев Н.А. Металлогенез Удско-Мургальского вулканического пояса (северное побережье Охотского моря) в поздней юре – раннем мелу // Структура, геодинамика и металлогенез Охотского региона и смежных районов северо-востока тихоокеанской плиты: Междунар. науч. симпоз. Южно-Сахалинск, 24–28 сентября 2002. Т. 1. Южно-Сахалинск: ИМГиГ ДВО РАН, 2002. С. 175–176.
12. Горячев Н.А. Происхождение золото-кварцевых жильных поясов Северной Пацифики // Магадан: СВКНИИ ДВО РАН, 2003. 143 с.
13. Горячев Н.А. Проблемы геодинамической классификации фанерозойских гранитоидов северо-востока Азии // Труды конференции “Проблемные аспекты формационной принадлежности, петрологии и рудоносности магматических комплексов”. Новосибирск, 16–19 апреля, 2003. Новосибирск: СО РАН, 2003. С. 83–84.
14. Горячев Н.А. Удско-Мургальская магматическая дуга: геология, магматизм, металлогенез // Проблемы металлогении рудных районов Северо-Востока России. Магадан: СВКНИИ ДВО РАН, 2005. С. 17–38.
15. Добрецов Н.Л. Проблемы соотношения тектоники и метаморфизма // Петрология. 1995. Т. 3. № 1. С. 4–23.
16. Кориковский С.П. Конtrастная модель развития прогрессивного и регрессивного метаморфизма в фанерозойских складчатых поясах в областях коллизии и субдукции // Петрология. 1995 Т. 3. № 1. С. 45–63.
17. Котляр И.Н., Жуланова И.Л., Русакова Т.Б., Гагиева А.М. Изотопные системы магматических и метаморфических комплексов Северо-Востока России. Магадан: СВКНИИ ДВО РАН, 2001. 319 с.
18. Михайлов Б.К., Горячев Н.А. Интерпретация геофизических полей мезозоид северо-востока Азии и размещение золото-кварцевой минерализации / Ред. В.И.Гончаров. Золоторудная минерализация и гранитоидный магматизм северной Пацифики. Т. 1. Геология, геохронология, геохимия. Магадан: СВКНИИ ДВО РАН, 2000. С. 83–86.
19. Ньюберри Р., Лейер П., Ганс П. и др. Предварительные данные по геохронологии мезозойского магматизма, тектоники и минерализации на северо-востоке России с помощью $^{40}\text{Ar}/^{39}\text{Ar}$ определений возраста и содержаний расеянных элементов в изверженных и минерализованных породах / Ред. В.И.Гончаров. Золоторудная минерализация и гранитоидный магматизм северной Пацифики. Т. 1. Геология, геохронология, геохимия. Магадан: СВКНИИ ДВО РАН, 2000. С. 181–205.
20. Тектоника, геодинамика и металлогенез Республики Саха (Якутия) / Ред. Л.М. Парфенов, М.И. Кузьмин. М.: МАИК “Наука-Интерпериодика”, 2001. 571 с.
21. Флеров Б.Л. Месторождения олова Яно-Колымской складчатой области. Новосибирск: Наука, 1976. 286 с.
22. Чевычелов В.Ю. О растворимости хлора во флюидонасыщенных магматических расплавах гранитного состава: влияние кальция // Геохимия. 1999. № 5. С. 522–535.
23. Berdnikov N.V., Karsakov L.P. Methane-Bearing Fluid Inclusions as Evidence of the Collisional Nature of High-Alumina Granites, Northern Sikhote-Alin, Russian Far East // International Geology Review. 1999. V. 41. P. 587–592
24. Chappell B.W., White A.J.R. Two contrasting granite types // Pacific Geology. 1974. V. 8. P. 173–174.
25. Frost B.R., Barnes C.G., Collins W.J. et al. A Geochemical Classification for Granitic Rocks // Journal of Petrology. 2001. V. 42, N 11. P. 2033–2048.
26. Goryachev N.A., Goncharov V.I. Late Mesozoic Granitoid Magmatism and Related Gold and Tin Mineralization of North-East Asia // Resource Geology. Special Issue. 1995. N 18. P. 111–122.
27. Goryachev N.A., Edwards A.C. Gold Metallogeny of North-East Asia // Proceedings PACRIM'99. 1999. P. 287–302.
28. Goryachev N.A. Late Jurassic – Early Cretaceous ore lode deposits and magmatic assemblages of northeastern Asia continental margin // Proceedings of the 2nd International Symposium of Geosciences in NE Asia and the 9th China-Korea Joint Symposium of Geology on Crustal Evolution in NE Asia. Editors Sun G., Cao L., Hu K. Changchun. China. 2002. P. 77–78.

29. Goryachev N.A., Khanchuk A.I. The origin of Late Cretaceous alkaline granitoids and basalts in the Upper Kolyma River area (the slab window tectonic model) / Ed. A.Khanchuk. Deep-seated magmatism, magmatic sources and the problem of plumes. Proceedings of International Workshop. Vladivostok: Dalnauka, 2002. P. 261–274.
30. Ishihara S. The magnetite-series and ilmenite-series granitic rocks // Mining Geology. 1977. V. 27. P. 293–305.
31. Ishihara S. The granitoid series and mineralization // Economic Geology 75th Anniversary Volume. 1981. P. 458–484.
32. Layer P.W., Newberry R., Fujita K. et al. Tectonic setting of the plutonic belts of Yakutia, Northeast Russia, based on ⁴⁰Ar/³⁹Ar geochronology and trace element geochemistry // Geology. 2001. V. 29, N 2. P. 167–170.
33. Lowenstern J.B. Carbon dioxide in magmas and implications for hydrothermal systems // Mineralium Deposita. 2001. V. 36. P. 490–502.
34. Nokleberg W.J., Parfenov L.M., Monger, J.W.H. et al. Phanerozoic tectonic evolution of the Circum-North Pacific // US Geol. Surv. Open-File Report 98–754. 1998. 124 p.
35. Parfenov L.M. Tectonics of the Verkhoyansk-Kolyma Mesozoides in the context of plate tectonics // Tectonophysics. 1991. V. 199. P. 319–342.
36. Peterson J.W., Newton R.C. CO₂-enhanced melting of biotite-bearing rocks at deep-crustal pressure-temperature conditions // Nature. 1989. V. 340. P. 378–380.
37. Takagi T., Tsukimura, K. Genesis of oxidized- and reduced-type granites // Econ. Geol. 1997. V. 92. P. 81–86.
38. Takahashi M., Aramaki S., Ishihara S. Magnetite-series/ Ilmenite-series vs. I-type/S-type granitoids // Mining Geology Special Issue. 1980. N 8. P. 13–28.
39. Trunilina V.A. Geodynamic position, genesis and criteria for ore content of tin-bearing granitoids from the Yana-Kolyma region / Seltman, Kampf and Moller (eds). Metallogeny of collisional orogens. Prague: Czech Geological Survey. 1994. P. 430–434.

Поступила в редакцию 17 марта 2006 г.

Рекомендована к печати В.Г. Гоневчуком

N.A. Goryachev, N.V. Berdnikov

Types of ore-bearing granites of the south-eastern part of Mesozoides of northeastern Russia, and their fluid specialization

Throughout northeastern Asia, granitoid rocks formed in collision-related active, and transform continental margin environments are known [19, 26, 29]. In terms of their mineralogical and geochemical characteristics, they are of S- and I-type / ilmenite (collisional) and I-type / magnetite (subductional and of transform margins) granitoids. Mineral deposits and occurrences of gold, tin, tungsten, bismuth, niobium, zirconium, and yttrium are related to these granitoids. Using cryometric and thermometric techniques, we examined the individual melt and fluid inclusions in quartz of granite rocks which are related to gold and tin deposits. Homogenization temperature (Th) values for crystallized melt inclusions in quartz range from 805 to 780°C, and those for high-concentration solid phase-fluid inclusions are 600°C and higher. Th for primary fluid inclusions ranges from 530 to 225°C, and for secondary ones ranges from 370 to 155°C.

Irrespective of granite nature, fluid inclusions in quartz of granites contain potassium and sodium chlorides. Fluid inclusions in quartz of S-granites are filled predominantly with sodium chlorides; and those of I-granites, with potassium chlorides. Carbon dioxide with an admixture of water, nitrogen and methane is typical only of S- and I-type / ilmenite series granites, whereas potassium, magnesium and lithium chlorites are typical of subduction-related I-type / magnetite series granites. Ilmenite granites of S- and I-types contain a compositionally similar fluid phase in inclusions, although a nitrogen-methane mixture in I-granites displays a tendency to a more reduced character of their fluid. This testifies to a genetic connection of these granite types, which formed at different depths of a collision-related plutono-metamorphic system.

Fluid inclusions in gold-bearing granites have carbon dioxide with water and sodium chloride composition with CH₄ and N₂ admixtures. The total salinity of secondary inclusions reaches 8 % of NaCl_{eq}. Fluid inclusions in tin-bearing granites have generally chloride (KCl higher than NaCl) composition; lithium and magnesium chlorides are present. The salinity of primary fluid inclusions is up to 8,5 % of NaCl_{eq}, and secondary fluid inclusions are more concentrated (up to 22 % NaCl_{eq}).

Key words: ore-bearing granitoids, geodynamic settings, geochemical types of granites, fluid inclusions, fluid specialization, northeastern Asia.